

第一章 半导体物理基础

能带的产生

价带 E_v	被价电子填满的能带
禁带 E_g	主要由自由电子占据的能带 $E_g = E_c - E_v$, 区分金属、半导体和绝缘体的关键参数

能带影响因素 能带受多种因素影响, 主要包括温度和掺杂。

温度影响	掺杂影响	本征激发
机制 温度升高 \rightarrow 晶格膨胀 \rightarrow 机制 掺杂浓度增加 \rightarrow 能带变窄 定义 价电子吸收热能跃迁至导带 原子间作用减弱 结果 E_g 变窄 结果 影响能带结构		空间电荷区形成: 扩散过的电子-空穴在交界面附近相遇并复合, 两侧各失去多子, 留下带正、负电的施、受主离子: N_D^+ 和 N_A^- 。交界面附近自由载流子被消耗殆尽, 形成空间电荷区 (也称耗尽区)

载流子统计分布

费米分布与载流子浓度 费米-狄拉克分布描述了量子态被电子占据的概率, 进而决定了半导体中载流子的浓度。

费米-狄拉克分布	$f(E) = \frac{1}{1 + \exp[(E - E_F)/kT]}$, 描述能量为 E 的量子态被电子占据的概率
费米能级 E_F	化学势的具体体现, $f(E_F) = 1/2$, 是表征半导体物理性质的参考电极
导带电子密度 N_e	$n_0 = N_e \exp[-(E_c - E_F)/kT]$, 其中 N_e 为导带有效状态密度
价带空穴密度 N_h	$p_0 = N_h \exp[-(E_F - E_v)/kT]$, 其中 N_h 为价带有效状态密度
质量作用定律	$n_0 p_0 = n_i^2 = N_e N_h \exp[-(E_g/kT)]$, n_i 只与温度和 E_g 有关

N型掺杂	施主原子提供电子, $n_0 \approx N_d$ (室温全电离), E_F 靠近 E_c
P型掺杂	受主原子提供空穴, $p_0 \approx N_a$ (室温全电离), E_F 靠近 E_v

补偿掺杂 同时掺入施主和受主, 多数载流子浓度由 $|N_d - N_a|$ 决定

温度对载流子浓度的影响 温度区域划分:

低温区 (冻结区)	中温区 (饱和区)	高温区 (本征区)
特征 杂质未完全电离	特征 杂质全电离, 本征激发可忽略	特征 本征激发占主导
结果 载流子浓度随温度升高而增加	结果 基本恒定, $n_0 \approx n_i$	结果 指数增长, $n_0 \approx p_0 \approx n_i$

费米能级位置的物理意义 为后面 PN 结等接触分析做铺垫

本征半导体	$E_F = E_i \approx (E_c + E_v)/2$ (禁带中央), $n_0 = p_0 = n_i$
N型半导体	E_F 上移靠近 E_c , 掺杂越重 E_F 越接近 E_c
P型半导体	E_F 下移靠近 E_v , 掺杂越重 E_F 越接近 E_v

接触电势 不同材料接触时费米能级必须拉平, 形成内建电场 (PN 结、金半接触的基础)

半导体的载流子运输 主要分为漂移和扩散两种机制。

漂移运动 定义 载流子在电场作用下的定向运动

漂移速度 $v_d = \mu E$, 其中 μ 为迁移率

漂移电流密 $J_{drift} = nq\mu_n E + pq\mu_p E$

• 迁移率 μ : 单位电场下载流子的平均漂移速度, 反映运动能力, 单位 $\text{cm}^2/(\text{V}\cdot\text{s})$, 受晶格散射和杂质散射影响

• 饱和速度 v_{sat} : 强电场下漂移速度趋于上限

电子电流 $J_n = qn\mu_n E + qD_n \frac{dn}{dx}$

总电流密度 空穴电流 $J_p = qp\mu_p E - qD_p \frac{dp}{dx}$

总电流 $J = J_n + J_p$ (漂移 + 扩散)

非平衡载流子的产生与复合

过剩载流子 非平衡态 过剩载流子 外界作用 (光照、电压) 使载流子浓度偏离平衡, $n_p \neq n_i^2$

$\Delta n = n - n_0$, $\Delta p = p - p_0$. 小注入条件下 $\Delta n = \Delta p$

复合与产生 复合 产生复合 电子从导带跃迁至价带, 与空穴湮灭, 释放能量 (光子或声子)
价带电子吸收能量跃迁至导带, 产生电子-空穴对

$G = R$ (产生率 = 复合率), 载流子浓度恒定

• 复合机制: 直接复合 间接复合 俄歇复合

机制 电子直接跃迁至价带 机制 通过复合中心 (杂质、缺陷) 机制 能量转移给第三个载流子

特点 发光 (GaAs 等直接带隙) 特点 S_i、G、等间接带隙半导体 特点 重掺杂或高注入下显著

载流子寿命与扩散长度 寿命 τ 过剩载流子衰减至 $1/e$ 的时间, $\Delta n(t) = \Delta n(0)e^{-t/\tau}$

扩散长度 L 过剩载流子在寿命期内扩散的平均距离, $L = \sqrt{D\tau}$

定义 非平衡态下, 电子和空穴各有独立的费米能级: E_{Fn} (电子)、 E_{Fp} (空穴)

准费米能级 $n = n_i e^{(E_{Fn} - E_i)/kT}$, $p = n_i e^{(E_i - E_{Fp})/kT}$

载流子浓度 $E_{Fn} = E_{Fp} = E_F$, $np = n_i^2$

平衡态极限

第二章 PN 结

PN 结的形成过程

制备方法 通过不同工艺引入杂质, 形成特定的杂质浓度分布 $N(x)$, 进而影响 PN 结的电学特性。

扩散法 合金法 离子注入法

过程 杂质从表面向内部扩散 过程 金属杂质熔化后重结晶 过程 高能离子束轰击半导体

结类型 线性梯度变化 结类型 线性梯度变化 (理想模型) 结类型 高斯分布

特点 浓度随深度 x 逐渐变化 特点 在 x_j 处浓度阶跃突变 特点 峰值在投影射程 R_p 处

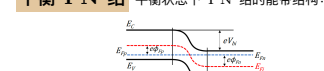
PN 结平衡过程 • 初始状态: 因浓度梯度, P 区空穴向 N 区扩散, N 区电子向 P 区扩散

• 空间电荷区形成: 扩散过的电子-空穴在交界面附近相遇并复合, 两侧各失去多子, 留下带正、负电的施、受主离子: N_D^+ 和 N_A^- 。交界面附近自由载流子被消耗殆尽, 形成空间电荷区 (也称耗尽区)

• 内建电场与动态平衡:

内建电场 平衡条件 空间电荷区分离正负电荷, 形成从 N 区指向 P 区的电场 E_i
平衡条件 扩散流密度 J_{diff} 与漂移流密度 J_{drift} 大小相等、方向相反, $J_{total} = 0$
热平衡态 费米能级 E_F 拉平, 无宏观净电流, 但微观载流子交换持续

平衡 PN 结 平衡状态下 PN 结的能带结构:



电子从 N 区向 P 区运动需克服势能差 eV_{bi} (阻挡多子继续扩散的势垒高度), 维持动态平衡。

• 电荷中性条件: $N_A x_p = N_D x_n$, 耗尽层展宽与掺杂浓度成反比

内建电场 $E(x)$: 单边突变结自动删除高掺杂质。

空间电荷区宽度: 单边突变结总宽度为低掺杂侧耗尽宽度。

$$P \text{ 侧宽度 } x_p = \sqrt{\frac{2\varepsilon_s V_{bi}}{e}} \cdot \frac{N_D}{N_A(N_A + N_D)}$$

$$N \text{ 侧宽度 } x_n = \sqrt{\frac{2\varepsilon_s V_{bi}}{e}} \cdot \frac{N_A}{N_D(N_A + N_D)}$$

$$\text{总宽度 } W = \sqrt{\frac{2\varepsilon_s V_{bi}}{e}} \cdot \frac{N_A + N_D}{N_A N_D}$$

PN 结的直流特性 能带图正偏 N 侧级上升 ($V_{bi} - V_a$), 反偏 N 侧级下降 ($V_{bi} + V_R$)

PN 结正偏 $n_p(-x_p) = n_p 0 \exp(\frac{eV_a}{kT})$

$n_p(x_n) = p_n 0 \exp(\frac{eV_a}{kT})$

PN 结反偏 少子分布如图所示:



• 考虑复合产生过程:

$$\text{反偏产生 } J_{gen} = \frac{en_i W}{2\tau_0}$$

$$\delta n_p(x) = p_n 0 \left[\exp\left(\frac{eV_a}{kT}\right) - 1 \right] \exp\left(\frac{x_n - x}{L_p}\right)$$

$$\delta n_p(x) = n_p 0 \left[\exp\left(\frac{eV_a}{kT}\right) - 1 \right] \exp\left(\frac{x_p + x}{L_n}\right)$$

正偏为少子扩散电流, 通过扩散电流公式可求边界电流:

$$J_p(x_n) = \frac{eD_p n_p 0}{L_p} \left[\exp\left(\frac{eV_a}{kT}\right) - 1 \right]$$

$$J_n(-x_p) = \frac{eD_n n_p 0}{L_n} \left[\exp\left(\frac{eV_a}{kT}\right) - 1 \right]$$

总电流 (肖克利方程) 为

$$J = J_s \left[\exp\left(\frac{eV_a}{kT}\right) - 1 \right]$$

• 温度特性: 温度升高, 电流密度变大, 虽然正偏还有缩小项, 但是不如反向饱和电流增加得多: $J_s \propto n_i^2$, $n_i \propto T^{3/2}$, $E_g / (2kT)$

PN 结电容 两种电容: 势垒电容和扩散电容。

势垒电容 • 单位面积势垒电容: $C'_T = \frac{\varepsilon_s}{W}$

扩散电容 $C_D = \frac{e^2}{kT} (L_p p_n 0 + L_n n_p 0) \exp(\frac{eV_a}{kT})$

• 小信号模型下计算扩散电阻、电容:

$$g_d = \frac{(I_p 0 + I_n 0)}{V_t} = \frac{I_D Q}{V_t}$$

$$C_d = \frac{1}{2V_t} (I_p 0 \tau_p 0 + I_n 0 \tau_n 0)$$

动态开关特性 从关态转变到开态所需开启时间很短, 从开态转变到关态 ($+U \rightarrow -U$) 所需关闭时间却很长。

• 根本原因: 反向延迟由 PN 结的电荷贮存引起 (正向导通时, 互相注入少子, 非平衡少子 (p_n 、 n_p) 在耗尽层附近扩散大量积累, 形成贮存电荷 Q)

• 关联规律: 正向通流 $I_F \uparrow \rightarrow$ 注入少子 $\uparrow \rightarrow$ 贮存电荷 $Q \uparrow \rightarrow$ 关断时清理时间 \uparrow , 恢复时间 \uparrow

正向导通 ($t < t_0$) 切换瞬间 ($t = t_0$) 贮存时间 t_s

物理 电流为正向偏置电场 跳 变 贮存电荷使 PN 结 物理 保持 I_R 不

过程 电压几乎全部 仍呈现低阻, $I_R \approx$ 过程 变, 反向电压持续抽加在电阻 R_p 上 U_2/R_p 取贮存电荷

• 衰减时间 t_f : 电流从 I_R 降至 $0.1I_R$, 耗尽层建立, 恢复高阻

• 恢复时间: $t_{rr} = t_f + t_s$, 让输出伴有延迟, 决定了工作频率。

• 全流程详解:

正向导通 (1) 积累大量少子, 形成贮存电荷 Q

反偏施加 (1→2) 边界少子浓度瞬间下降但仍高于 $p_n 0$, 扩散梯度维持“导通”特征, 外部电场恒定为 I_R

t_s 结束 (2) 边界浓度降至 $p_n 0$, 耗尽层开始建立

t_f (2→4) 外部电场恒定为 I_R , 逐渐降至 0

t_{rr} 影响因素 贮存电荷量 Q 越大 t_{rr} 越长; 抽取速度 $I_R = U_2/R$ 越大 t_{rr} 越短

PN 结平衡过程 • 初始状态: 因浓度梯度, P 区空穴向 N 区扩散, N 区电子向 P 区扩散

提高开关速度的措施 • 途径一: 减小贮存电荷 Q :

减小正向电流 I_D

原理 $I_D \downarrow \Rightarrow V_a \downarrow \Rightarrow n_p 0 e^{eV_a/kT} \downarrow$

结果 注入少子浓度降低, Q 减小

• 途径二: 加快 Q 消失 (最有效):

增大反向抽取电流

方法 使 $I_R = (U_2 - V)/R$ 增大

效果 $I_R \uparrow \Rightarrow t_{rr} \downarrow$

• 定量关系: 在 $I_D = I_F$ 条件下: 突变结 $t_{rr} \approx 0.9\tau$; 缓慢结 $t_{rr} \approx 0.5\tau$

第三章 MOSFET 初步

MOS 电容 随表面势的不同, 半导体表面可以处于积累、平带、耗尽、弱反、强反型, 下面将图 P 型衬底。

PN 结电容 在不同电势下, 表面势能级发生改变, 从而导致电容值发生变化。

• 积累型: 在栅极施加

• 平带型: 在栅极施加

• 耗尽型: 在栅极施加

• 弱反型: 在栅极施加

• 强反型: 在栅极施加

• 强

• PMOS 转换说明：对于 P 型衬底 PMOS：(1) 将电压符号改为 V_{SG} 、 V_{SD} ，阈值电压改为 $|V_{TP}|$ ；(2) 移速率 $\mu_n \rightarrow \mu_p$ ；(3) 反型电荷为空穴 Q'_p ；(4) 电流方向从源极到漏极，公式形式不变： $I_D = \frac{W\mu_p C_{ox}}{L} [(V_{SG} - |V_{TP}|) V_{SD} - \frac{1}{2} V_{SD}^2]$ 。

截止频率 截止频率 f_T 是电流增益为 1 时的频率。 $f_T = \frac{g_m}{2\pi(C_{gs} + C_M)} = \frac{g_m}{2\pi C_G}$

在理想饱和区， $f_T = \frac{\mu_n}{2\pi L^2} (V_{GS} - V_T)$ ，提高频率特性的途径：

提高迁移率 μ_n
优化晶向 选择高迁移率晶向（如硅的 100 方向）
新材料 使用 GaAs 等高迁移率材料

编道沟长度 L

效果 $f_T \propto 1/L^2$, 最有效方法
双重收益 减小寄生电容 C_{gs} ；增大跨导 g_m

第四章 MOSFET 深入

非理想效应

这里的图也需要记一记，可能没有那么多空来画。

亚阈值导电 • 定义：在弱反型 ($\phi_f p \leq \phi_s \leq 2\phi_f p$) 中，电流 I_D 并没有截止，而是呈指数衰减。

• 理想与实际过渡区对比：在 V_T 以下，电流平滑过渡，存在“尾巴”，即亚阈值电流。
• 物理机理：弱反型势垒较低，根据玻尔兹曼分布，源区总有一部分高能电子通过越过势垒。此时电流的主要驱动机制是扩散，而非漂移

• I-V 特性影响： $I_D(sat) \propto [\exp(\frac{-eV_{DS}}{kT})]$ 。
 $[1 - \exp(\frac{-eV_{DS}}{kT})]$ ， V_{DS} 过大时， $I_D(sat)$ 趋于饱和。

速度饱和 • 定义：饱和和漂移速度 v_{sat} ，漏源电流提前饱和。实际的饱和电压小于理想值

$I_D(sat) = W C_{ox} (V_{GS} - V_T) v_{sat}$ (成线性关系)
 $f_T = \frac{v_{sat}}{2\pi L}$

按比例缩小 尺寸与电压按同样比例缩小，电场强度保持不变，**最理想**，但**难以实现**

$W', L', t'_{ox}, x'_D = kW, kL, kt_{ox}, kx_D$
 $V'_{DS}, V'_{GS}, V'_T = kW_{DS}, kV_{GS}, kV_T$
• 杂散调整： $N_A' = N_A/k$ • 功率： $P' = k^2 P$
• 电流： $I'_D = kI_D$ • 电阻： $R' = R$
• 电容： $C'_{ox} = kC_{ox}$

• 阈值电压不按比例缩小：

原因 $\phi_f p = V_t \ln(N_A/n_i) \approx \text{const}$, $\phi_m s \approx \text{const}$

实际 $V'_T \approx V_T \neq kV_T$

后果 $V_D \downarrow \Rightarrow (V_{GS} - V_T) \downarrow \Rightarrow I_D, f_T \downarrow$

恒压按比例缩小 尺寸缩小： L, W 缩小（按 k ）。电压不变：**一般化按比例缩小** 尺寸：按比例因子 k 缩小。电场：按另一个因子缩小（电压稍微降低一点，但降得没尺寸那么快）。目的：在保证可靠性和性能之间寻找平衡

阈值电压修正 短沟道效应 源和漏的 N+ 掺杂，与 P 型衬底之间会形成耗尽区。源和漏的电场会“协助”耗尽沟道两端的区域，使栅极需要耗尽的一部分电荷被源和漏分担了，受栅极控制的耗尽层形状成为梯形（即 L' 的区域）。

原因 $\Delta L = r_j (\sqrt{1 + \frac{2x_{dT}}{r_j}} - 1)$

实际 $\Delta V_T = -\frac{eN_A x_{dT}}{C_{ox}} \cdot \frac{\Delta L}{L} < 0$

后果 r_j 为结深， L 和 r_j 同量级时，短沟道效应显著。

窄沟道效应 当沟道变窄，源/漏结及沟道边缘的耗尽区会向沟道中心延伸，在沟道宽度的两侧存在附加的空间电荷区；这些附加的电荷也受栅极控制，栅极要使剩余的栅区反型，就需要施加更高的栅电压。因此，阈值电压增大。

原因 $\Delta V_T = V_T - V_T(\text{宽})$

实际 $= \frac{eN_A x_{dT}}{C_{ox}} \cdot \frac{\xi x_{dT}}{W} > 0$

后果 ξ 是几何因子，当 W 和 x_{dT} 同量级时，窄沟道效应显著。

离子注入效应 离子注入主要改变的是半导体表面的杂质浓度，进而改变耗尽层内的空间电荷密度 $|Q'_{SD(max)}|$

$V_T = V_{TO} \pm \frac{eD_L}{C_{ox}}$, + 为同性掺杂 - 为异性掺杂

第五章 双极型晶体管

工作原理 少子分布、能带图：

正向有源区 NPN 型 PNP 型 饱和区 NPN 型 PNP 型 截止区 NPN 型 PNP 型 反向有源区 NPN 型 PNP 型

能带图

高频高速 多子导电 \rightarrow 无少子存储 $\rightarrow C_{diss} \approx 0$
 高输入阻抗 $R_{in} \gg R_{in}(BJT)$ (电压控制)
 强抗辐射 多子器件 \rightarrow 不受少子寿命 τ 影响

MESFET: 用金属代替了 P 型半导体的地位, 行成肖结, 也是扩张耗尽层达到控制目的。沟道: n-GaAs 外延层 (高电子迁移率)。栅极 (G) = 肖特基接触 (控制); 源/漏 (S/D) = 欧姆接触。分为增强型和耗尽型两种, 可能会考画图。

器件特性

pnJFET

$$\begin{aligned} & \text{N 沟道 JFET} \quad \text{P 沟道 JFET} \\ V_{P0} &= \frac{ea^2 N_d}{2\epsilon_s} \quad V_P = V_{P0} = \frac{ea^2 N_a}{2\epsilon_s} \\ V_{bi} - V_{P0} &= V_P = V_{P0} - V_{bi} \\ h &= \sqrt{\frac{2\epsilon_s(V_{bi}-V_{GS})}{eN_d}} \quad h = \sqrt{\frac{2\epsilon_s(V_{bi}+V_{GS})}{eN_a}} \\ V_{sat} &= V_{P0} - (V_{bi} - \frac{V_{sat}}{V_{SG}}) = V_{P0} - (V_{bi} + V_{GS}) \end{aligned}$$

夹断电流 (栅极零偏且内建电势忽略时的理论最大漏极电流): $I_{P1} =$

$$\mu_n \frac{(eN_d)^2 Wa^3}{6\epsilon_s L}$$

$$\text{漏源电流: } I_{D1} = I_{P1} \left[3 \frac{V_{DS}}{V_{P0}} - 2 \left(\frac{V_{DS} + V_{bi} - V_{GS}}{V_{P0}} \right)^{3/2} \right]$$

$$+ 2 \left(\frac{V_{bi} - V_{GS}}{V_{P0}} \right)^{3/2}$$

$$\text{沟道电导: } g_d = \frac{3I_{P1}}{V_{P0}} \left[1 - \left(\frac{V_{bi} - V_{GS}}{V_{P0}} \right)^{1/2} \right]$$

$$\text{最大电导: } G_{01} = \frac{3I_{P1}}{V_{P0}}$$

饱和电流:

$$I_{D1(sat)} = I_{P1} \left[1 - 3 \frac{(V_{bi} - V_{GS})}{V_{P0}} \right]$$

$$\times \left(1 - \frac{2}{3} \sqrt{\frac{V_{bi} - V_{GS}}{V_{P0}}} \right)$$

非理想因素

等效电路和频率限制 1

MESFET

课后习题整理

这里仅整理作业题以及期中考试习题，不包含章节后习题。

半导体材料物理

- 期中-01：请简述费米能级的物理意义，并说出影响费米能级位置的因素以及在其影响下费米能级如何变化。
答：费米能级指半导体中被电子占据概率为 0.5 的假定能级（5 分），标志着电子填充能级的水平，能量低于 E_F 的能级被电子占据的概率大于 0.5，能量高于 E_F 的能级被电子占据的概率小于 0.5。费米能级的位置受温度和半导体掺杂浓度影响。对于 p 型掺杂，随着掺杂浓度增加费米能级向价带方向移动；对于 n 型掺杂，掺杂浓度增加费米能级向导带方向移动；掺杂半导体随着温度升高本征激发逐渐主导时，费米能级向本征费米能级移动（5 分）。

PN 结

PN 结的形成过程 这部分没有习题，所以对应的我前面整理的也比较少。

- 平衡 PN 结 • 课堂练习-C2-01：硅 pn 结所处环境温度为 300K，掺杂浓度为 $N_a = 10^{16} \text{ cm}^{-3}$, $N_d = 10^{15} \text{ cm}^{-3}$, 计算 pn 结中的空间电荷区宽度 W 和零偏时结内的最大电场 E_{\max} 。

- 启示：就是单纯地练习公式，注意单位换算就行。
- 答：

$$\begin{aligned} V_{bi} &= \frac{kT}{e} \ln \left(\frac{N_A N_D}{n_i^2} \right) = V_t \ln \left(\frac{N_A N_D}{n_i^2} \right) = 0.635 \text{ V} \\ W &= \left\{ \frac{2\epsilon_s V_{bi}}{e} \left[\frac{N_a + N_d}{N_a N_d} \right] \right\}^{1/2} \\ &= \left\{ \frac{2(11.7)(8.85 \times 10^{-14})(0.635)}{1.6 \times 10^{-19}} \left[\frac{10^{16} + 10^{15}}{(10^{16})(10^{15})} \right] \right\}^{1/2} \\ &= 0.951 \times 10^{-4} \text{ cm} = 0.951 \mu\text{m} \\ x_n &= \left(\frac{2\epsilon_s V_{bi}}{e} \cdot \frac{N_A}{N_D} \cdot \frac{1}{N_A + N_D} \right)^{1/2} = 0.864 \times 10^{-4} \text{ cm} \\ E_{\max} &= \frac{-e N_d x_n}{\epsilon_s} = \frac{-(1.6 \times 10^{-19})(10^{15})(0.864 \times 10^{-4})}{(11.7)(8.85 \times 10^{-14})} = -1.34 \times 10^4 \text{ V/cm} \end{aligned}$$

问答题整理 孟庆巨版本教材：红色题干为作业、课件出现过的题目。

界面态对肖特基势垒高度 在大多数实用的肖特基势垒中，**界面态在决定 ϕ_b 数值中处于支配地位**，势垒高度基本上与两个因素有关：一个功函数差以及半导体中的掺杂度无关。由于表面态密度无法预知，势垒高度通常为经验值。加偏压时肖特基势垒能带图中 $q\phi_b$ 几乎不变的原 因是 $q\phi_b$ 几乎不变。

肖特基势垒二极管与 PN 肖特基势垒二极管是**多子器件**，PN 结二极管是**少子器件**。主要区别：

- 肖特基势垒二极管的区别
- (1) 无少数载流子存储，存储时间可忽略，适合高频和快速开关；
 - (2) 多数载流子电流远高于少数载流子，饱和电流远高于同面积 PN 结二极管；
 - (3) 对同样电流，肖特基势垒上的正向电压降远低于 PN 结，适合倍压和限幅应用；
 - (4) 多子数目起伏小，噪声小；
 - (5) 温度特性好。

金属与重掺杂半导体接触 若半导体为重掺杂（如 10^{19} cm^{-3} 或更高），空间电荷层宽度极薄，载流子可隧道穿透而不能形成欧姆接触。两侧电子均可隧穿，正反向偏压下 $I-V$ 曲线基本对称，表现为非整流、低电阻的欧姆接触。

第四次作业相关：

在理想情况下，金属和半 导体之间形成非整流接触

势垒的条件是什么？

画出 n 型欧姆接触时，零 偏、正偏、反偏条件下的能带图

根据给出的金属与半导体，原则就是让金属的费米能级不变，然后让半导体的费米能级和金属对齐，画出弯曲的能带图即 可。然后根据半导体类型以及载流子的流向标注是阻挡层还是反阻挡层。

带图